



# HHV-8

Pr Anne-Geneviève Marcelin Virologie - Hôpital Pitié-Salpêtrière UMR 1136 Inserm - Sorbonne Université

VIROTEAM

Marseille - 1<sup>er</sup> Février 2019





# 7 virus identifiés responsables de cancers humains

Virus	Genome	Notable cancers	Year first described	Refs
Epstein-Barr virus (EBV; also known as human herpesvirus 4 (HHV4))	Double-stranded DNA herpesvirus	Most Burkitt's lymphoma and nasopharyngeal carcinoma, most lymphoproliferative disorders, some Hodgkin's disease, some non-Hodgkin's lymphoma and some gastrointestinal lymphoma	1964	15
Hepatitis B virus (HBV)	Single-stranded and double-stranded DNA hepadenovirus	Some hepatocellular carcinoma	1965	25
Human T-lymphotropic virus-I (HTLV-I)	Positive-strand, single-stranded RNA retrovirus	Adult T cell leukaemia	1980	20
High-risk human papillomaviruses (HPV) 16 and HPV 18 (some other α-HPV types are also carcinogens)	Double-stranded DNA papillomavirus	Most cervical cancer and penile cancers and some other anogenital and head and neck cancers	1983–1984	29. 30
Hepatitis C virus (HCV)	Positive-strand, single-stranded RNA flavivirus	Some hepatocellular carcinoma and some lymphomas	1989	31
Kaposi's sarcoma herpesvirus (KSHV; also known as human herpesvirus 8 (HHV8))	Double-stranded DNA herpesvirus	Kaposi's sarcoma, primary effusion lymphoma and some multicentric Castleman's disease	1994	33
Merkel cell polyomavirus (MCV)	Double-stranded DNA polyomavirus	Most Merkel cell carcinoma	2008	34

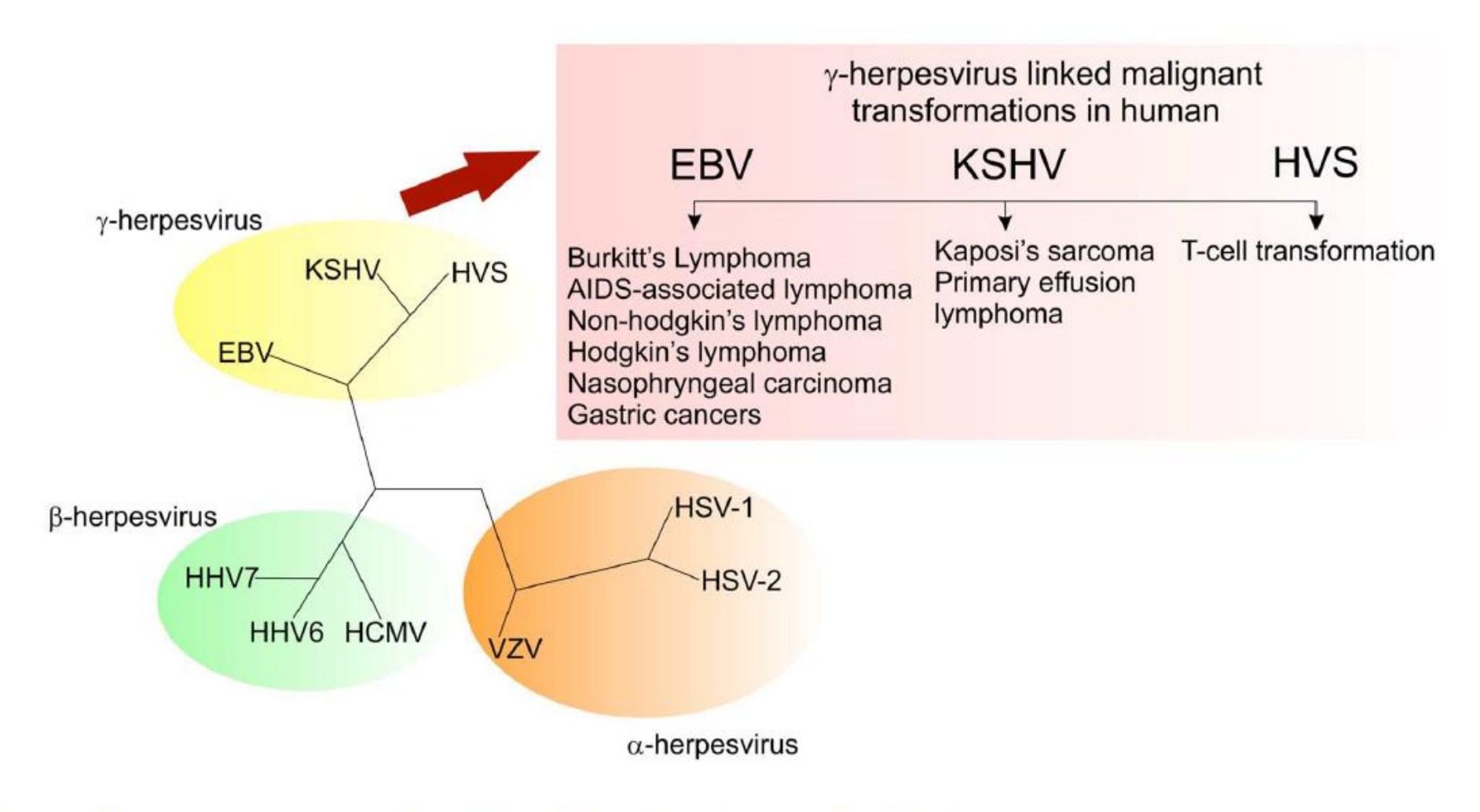


FIGURE 2 | Members of the gammaherpesvirus family have the ability to drive cell proliferation and tumorigenesis.

## OMS 2014

# Global burden of cancers attributable to infections in 2012: a synthetic analysis

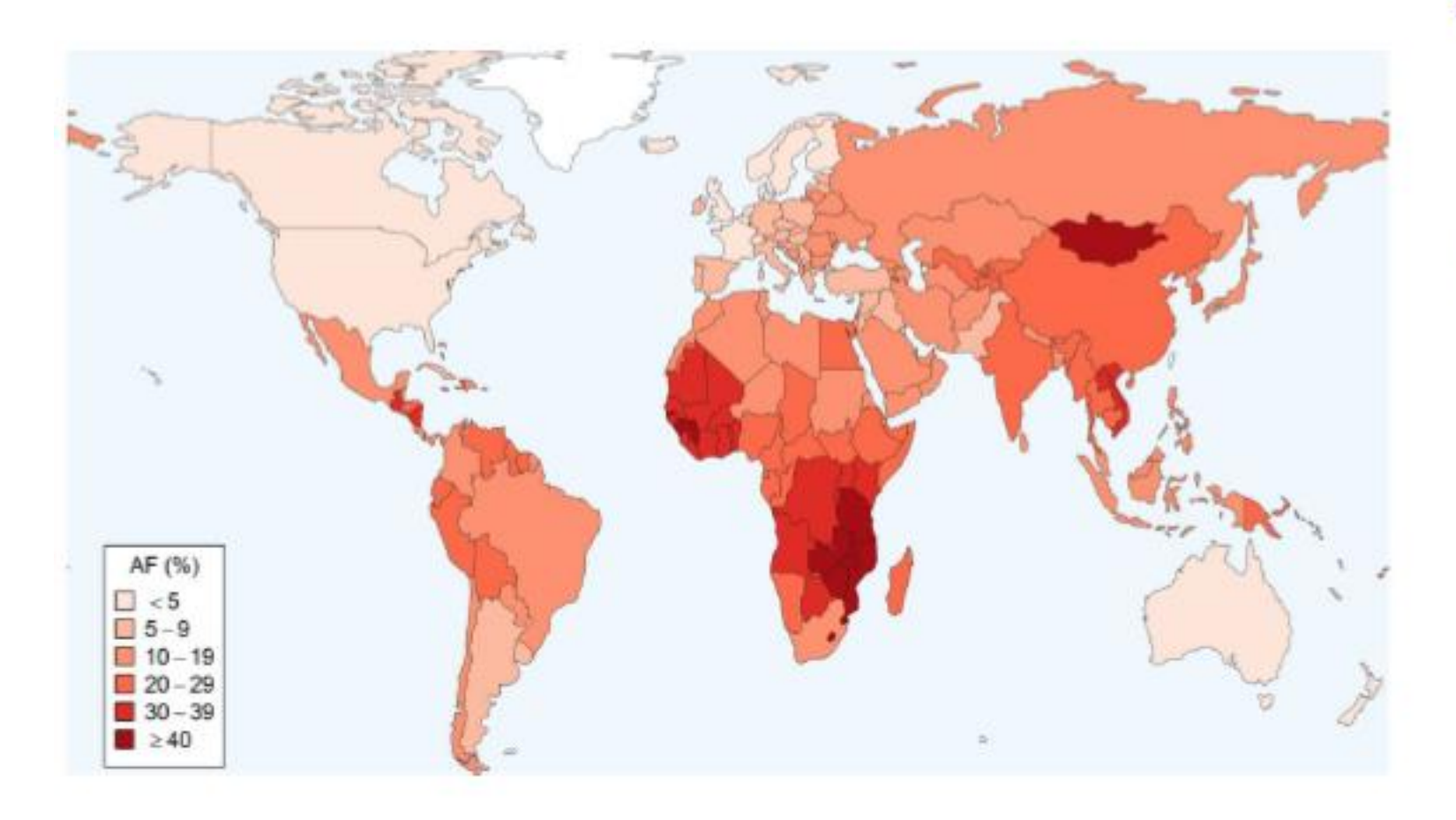
Martyn Plummer\*, Catherine de Martel\*, Jerome Vignat, Jacques Ferlay, Freddie Bray, Silvia Franceschi

- Les cancers figurent parmi les principales causes de morbidité et de mortalité dans le monde; en 2012: 14 millions de nouveaux cas et 8,2 millions de décès liés à la maladie.
- Plus de 60% des nouveaux de cancer surviennent en Afrique, Asie, Amérique centrale et Amérique latine. Ces régions représentent 70% des décès par cancer dans le monde.
- On estime que le nombre de cas de cancer par an devrait augmenter de 14 millions en 2012 à 22 millions au cours des deux prochaines décennies.

	Number of new cases	Number attributable to infection	Attributable fraction (%)
Worldwide	14000000	2 200 000	15-4%
Africa			
Sub-Saharan Africa	630000	200 000	31-3%
North Africa and west Asia	540 000	70000	13-1%
Asia			
Central Asia	1500000	290 000	19-4%
East Asia	4900000	1100000	22-8%
America			
Latin America	1100000	160000	14-4%
North America	1800000	72000	4.0%
Europe	3400000	250 000	7-2%
Oceania	160000	7600	4.9%
Human Development Index			
Very high	5700000	430 000	7.6%
High	2 200 000	290 000	13-2%
Medium	5 200 000	1200000	23-0%
Low	940000	240 000	25-3%
Level of development			
More developed regions	7 900 000	730000	9-2%
Less developed regions	6200000	1400000	23.4%
Numbers of cases rounded to two sign	nificant figures.		

# Global burden of cancers attributable to infections in 2012: a synthetic analysis

Martyn Plummer\*, Catherine de Martel\*, Jerome Vignat, Jacques Ferlay, Freddie Bray, Silvia Franceschi



2/3 des cancers viro-induits surviennent dans les pays en voie de développement

Total: N = 2 200 000

# Main infectious agents:

Helicobacter pylori: N= 770,000

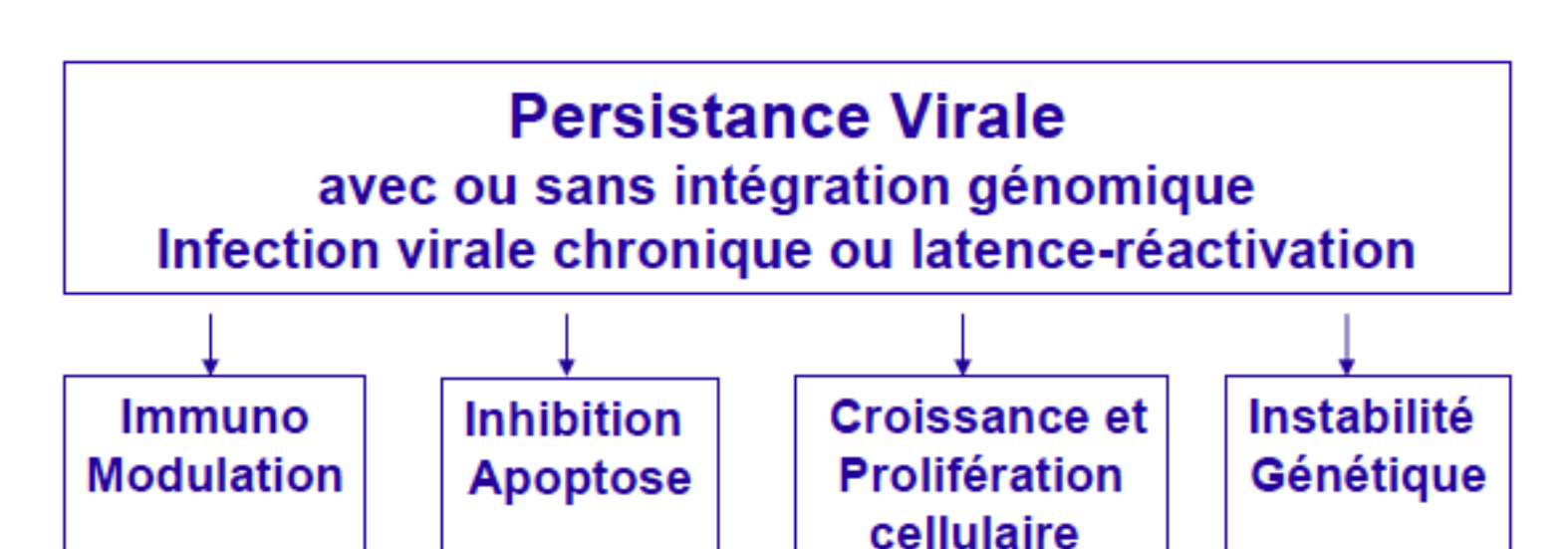
Human papillomavirus: N= 640,000

> Hepatitis B virus; N= 420,000

Hepatitis C virus: N= 170,000

Epstein-Barr virus: N= 120,000

Human herpes virus 8: N = 44,000



Evasion immune +++

persistance du génome viral pendant la X cellulaire transmission du virus de cellules à cellules ou inter-individus

+

#### Cofacteurs Endogènes et Exogènes

Réponse immune Inflammation chronique

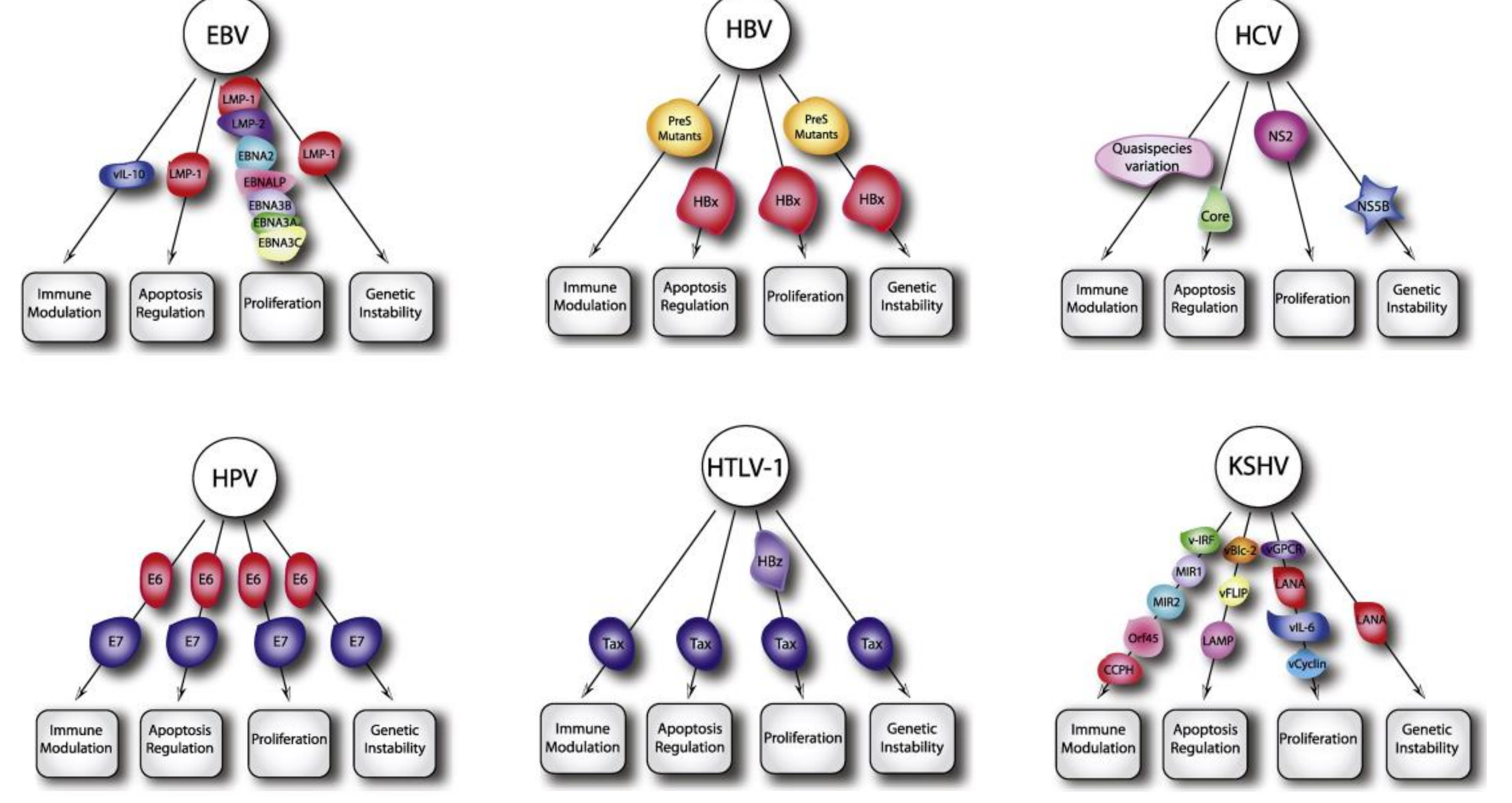
Transformation cellulaire Maintien du phénotype transformé

Initiation

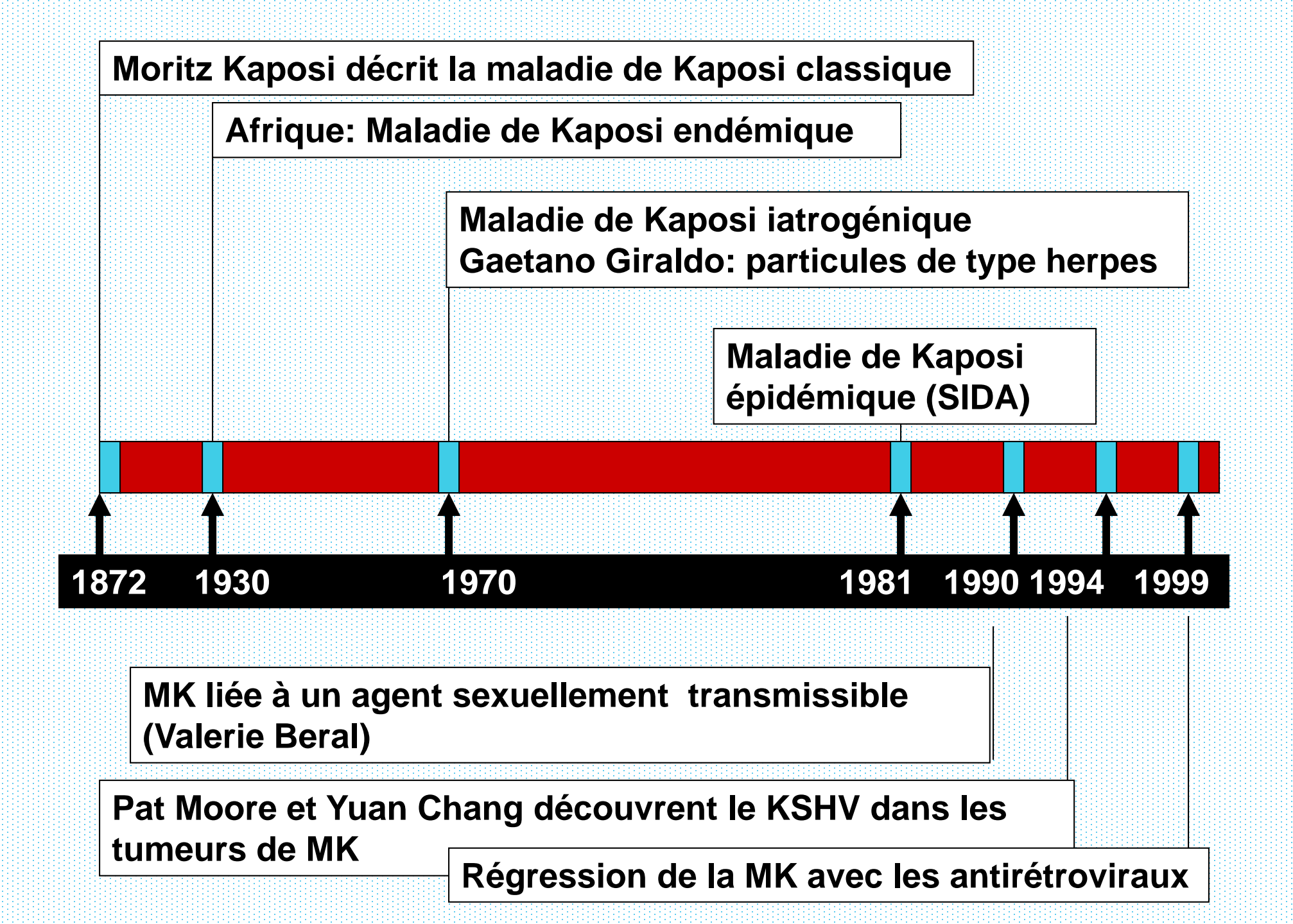
**Promotion** 

Progression

Métastase



M.E. McLaughlin-Drubin, K. Munger / Biochimica et Biophysica Acta 1782 (2008) 127–150



## Identification of Herpesvirus-Like DNA Sequences in AIDS-Associated Kaposi's Sarcoma

Yuan Chang,\* Ethel Cesarman,† Melissa S. Pessin, Frank Lee, Janice Culpepper, Daniel M. Knowles,† Patrick S. Moore

SCIENCE • VOL. 266 • 16 DECEMBER 1994

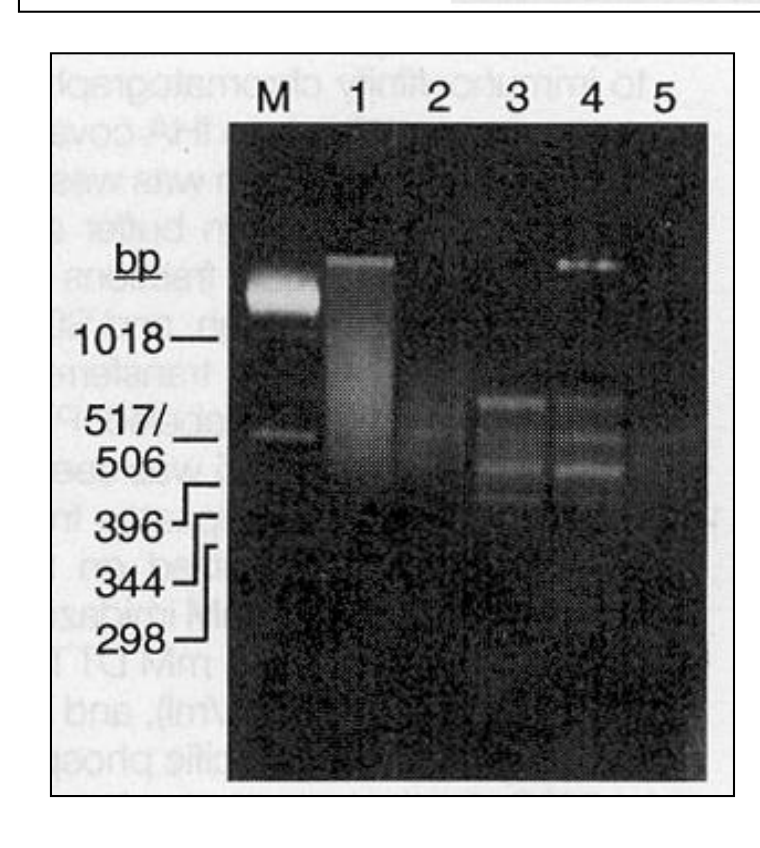
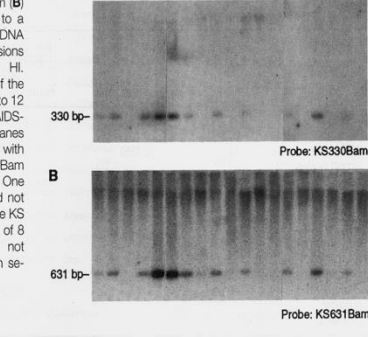


Table 2. Differential detection of KS330Bam, KS631Bam, and KS330<sub>253</sub> sequences in KS-4fected (KS) and unaffected autopsy tissues from four patients with AIDS-KS. Patients A, B, and C were gay males with AIDS and patient D was a female intravenous drug user with AIDS.

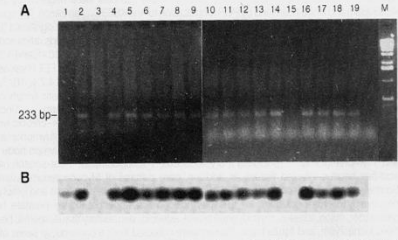
Tissue type KS	3330Bam	KS631Barr	KS33
art barranti	Patient	A	APP
KS, skin	+	+	+
Skin	+	+	+
Muscle	+	+	+
	Patient	В	
KS, skin	+	+	+
Muscle	-070		-
Brain	COMMON TO SERVICE SERV		_
	Patient	C	
KS, stomach	+	+	+
Stomach.	-	01 61	+
adjacent to			
KS			
Muscle	W Digital St		-
Brain	-	1902 . 4	111
Colon	11-1111	10 4 m	-
Heart	-	-	mu -
Hilar lymph	-		-
nodes			
	Patient	D	
KS, skin	+	+	+
Skin,	11/20	1	+
adjacent to			
KS			
Hilar lymph	-	-	+
node			
Mesenteric	A STATE OF THE PARTY OF THE PAR	-	-
lymph			
node			
Brain	11200	11 20 0	A PL
Lung	I at he	-	(1) II (1)
Stomach	11-	-	
Spleen	-	- 7 7 7	
Liver	The state	-	1181
Muscle	A TAN	(10)	
IVIUOUIO			

Fig. 4. Hybridization of 32P-labeled KS330Bam (A) and KS631Bam (B) sequences obtained by RDA to a representative panel of 19 DNA samples extracted from KS lesions and digested with Bam HI. KS330Bam hybridized to 11 of the 19 and KS631Bam hybridized to 12 of 19 DNA samples from the AIDS-KS lesions shown. Two cases (lanes 12 and 13) showed faint hands with both KS330Bam and KS631Bam probes after longer exposure. One negative specimen (lane 3) did not have microscopically detectable KS in the tissue specimen. Seven of 8 additional KS DNA samples not shown also hybridized to both se-



1 2 3 4 5 6 7 8 9 10 11 12 13 14 15 16 17 18 19

Fig. 5. PCR amplification of the 19 KS-derived DNA samples shown in Fig. 4, using the KS330<sub>280</sub> primers shown in Fig. 2. (A) shows the agarose gel of the amplification products from 19 KS DNA samples (lanes 1 to 19), and (B) shows specific hybridization of the PCR products to a <sup>32</sup>P end-labeled 25-bp internal oligonucleotide (Fig. 2)



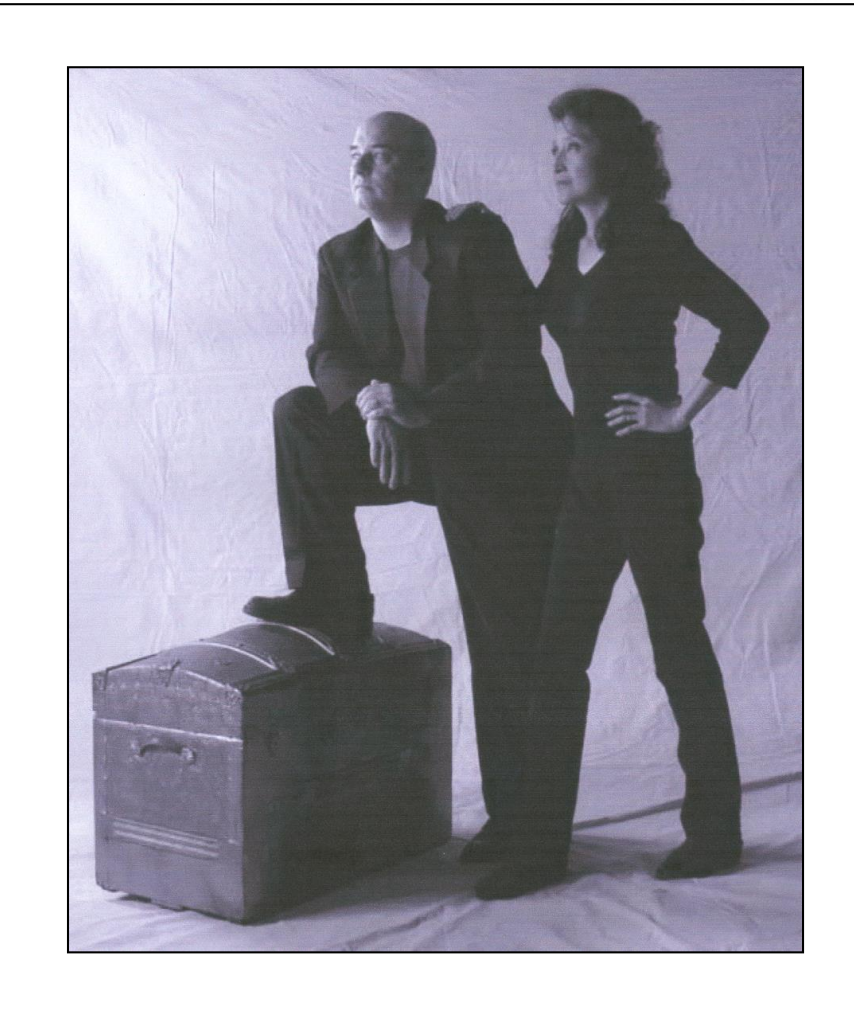
after transfer of the gel to a nitrocellulose filter. Negative samples in lanes 3 and 15, respectively, lacked microscopically detectable KS in the sample or did not amplify the human p53 exon 6, suggesting that these samples were negative for technical reasons. An additional eight AIDS-KS samples were amplified and all were positive for KS330<sub>-281</sub>. Lane 20 is a negative control and lane M molecular size marker.

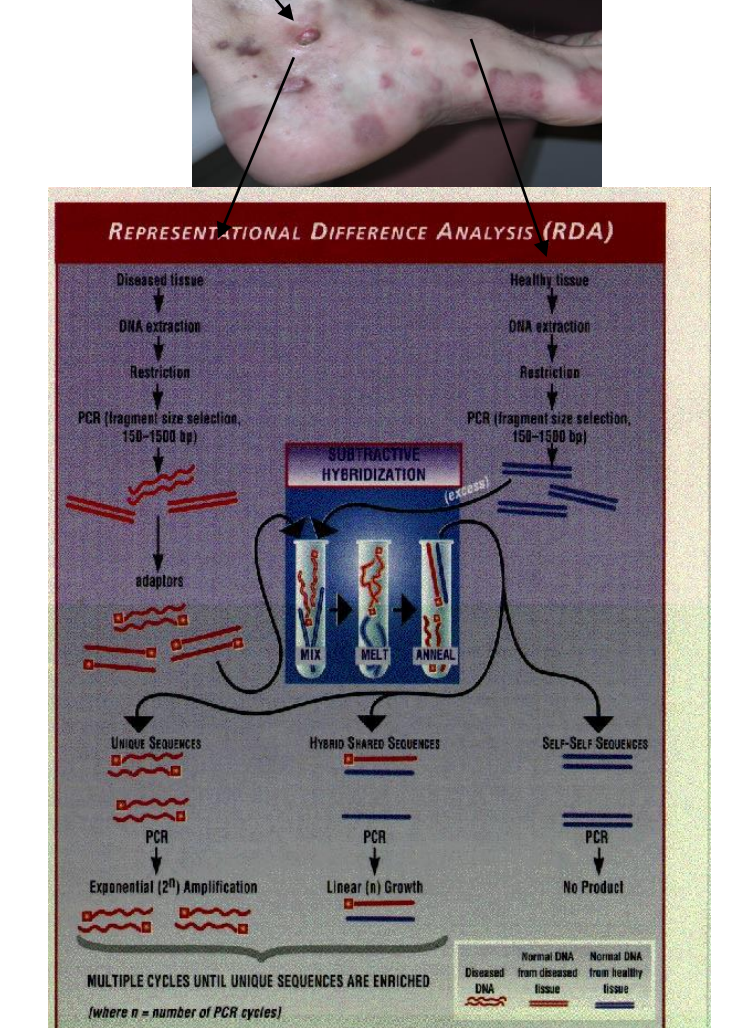
SCIENCE • VOL. 266 • 16 DECEMBER 1994

#### Identification of Herpesvirus-Like DNA Sequences in AIDS-Associated Kaposi's Sarcoma

Yuan Chang,\* Ethel Cesarman,† Melissa S. Pessin, Frank Lee, Janice Culpepper, Daniel M. Knowles,† Patrick S. Moore

SCIENCE • VOL. 266 • 16 DECEMBER 1994





## Généralités sur HHV-8

#### Classification

- Famille des Herpesviridae
- Sous-famille des Gammaherpesvirinae
- Genre Rhadinovirus

#### Structure

- Virus enveloppé
- Diamètre: 110 à 150 nm
- ADN double brin de 164 000 à 170 000 pb

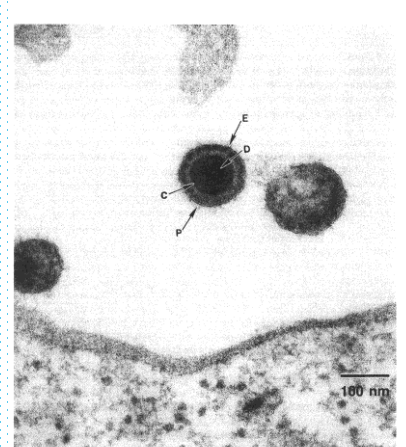
#### Cycle cellulaire

- Réplication du génome dans le noyau
- Phase lytique minoritaire : ADN linéaire
- Phase de latence majoritaire : ADN circulaire sous forme épisomale

# Rhadinovirus EHV2 HVS SHV Lymphocryptovirus 100 100 HSV1 HSV1 HSV2 100 93 EHV1 PRV VZV HHV7 HHV6 HCMV

#### BETAHERPESVIRUSES

KAPOSI'S SARCOMA-ASSOCIATED HERPESVIRU



Extracellular mature KSHV particle from a body cavity-based lymphoma ell line (KS-1) showing typical features of enveloped herpesviruses. C, Capsid structure, DNA core; E, exterior viral envelope; P, fringe proteins on viral envelope. Photo

# Génome viral de HHV-8 (1)

#### PHASE DE LATENCE

#### LANA-1 codée par ORF-73

- Protéine de latence
- Réplication 1x par cycle cellulaire
- Attachement épisome à l'ADN cellulaire
- Répression du cycle lytique

#### v-Cyclin codée par ORF-72

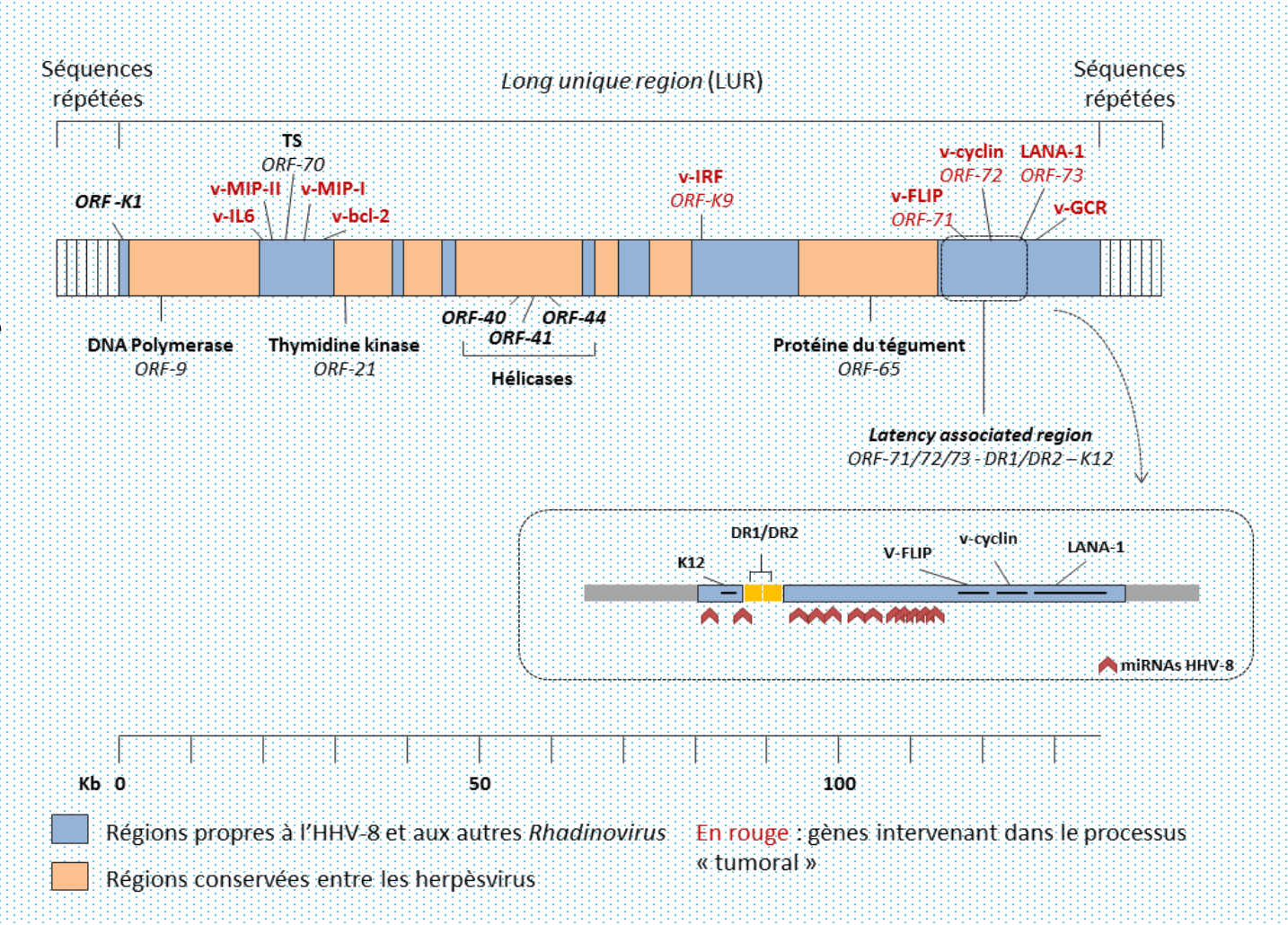
- Stimulation prolifération cellulaire
- Transformation cellulaire

#### v-FLIP codée par ORF-71

- Inhibition apoptose
- Activation voie NF kappa B
- Inhibition RBP-Jk (co-activateur RTA)

#### miRNAs

- Immuno-modulation
- Inhibition apoptose
- Inhibition RTA au niveau posttranscriptionnel

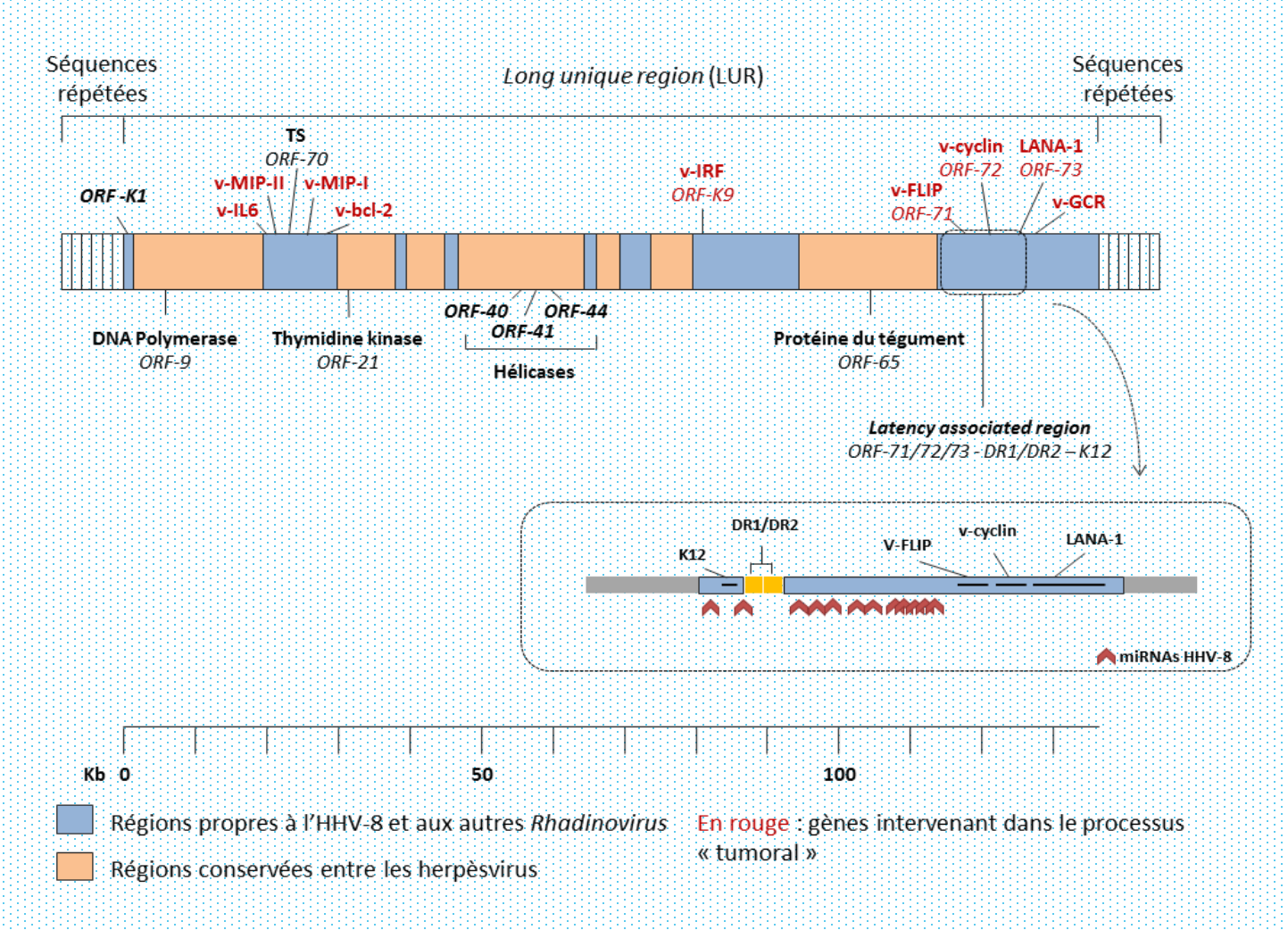


Purushothaman P et al, Front Microbiol 2016 Juillard F et al. Front Microbiol 2016. Cai et al. J Gen Virol, 2000

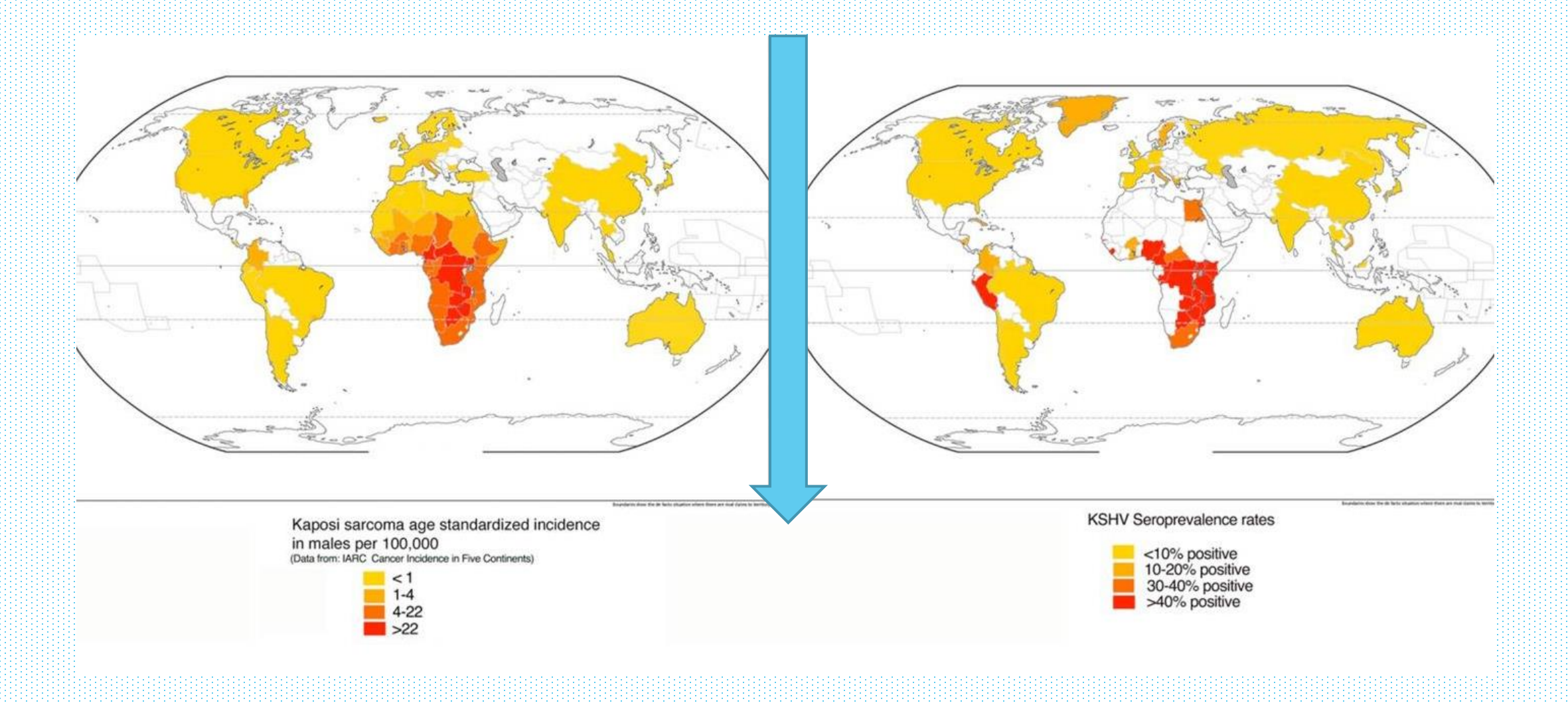
# Génome viral de HHV-8 (2)

#### PHASE LYTIQUE

- RTA codée par ORF-50
  - Stimulé par
    - Stimuli extérieurs (ex: acide valproïque)
    - Stimuli intracellulaire (ex: PKC, ERK)
  - Protéine initiatrice de la phase lytique
- Expression successive de trois classes de gènes
  - Immediate early (IE) gènes
  - Early (E) gènes
  - Late (L) gènes



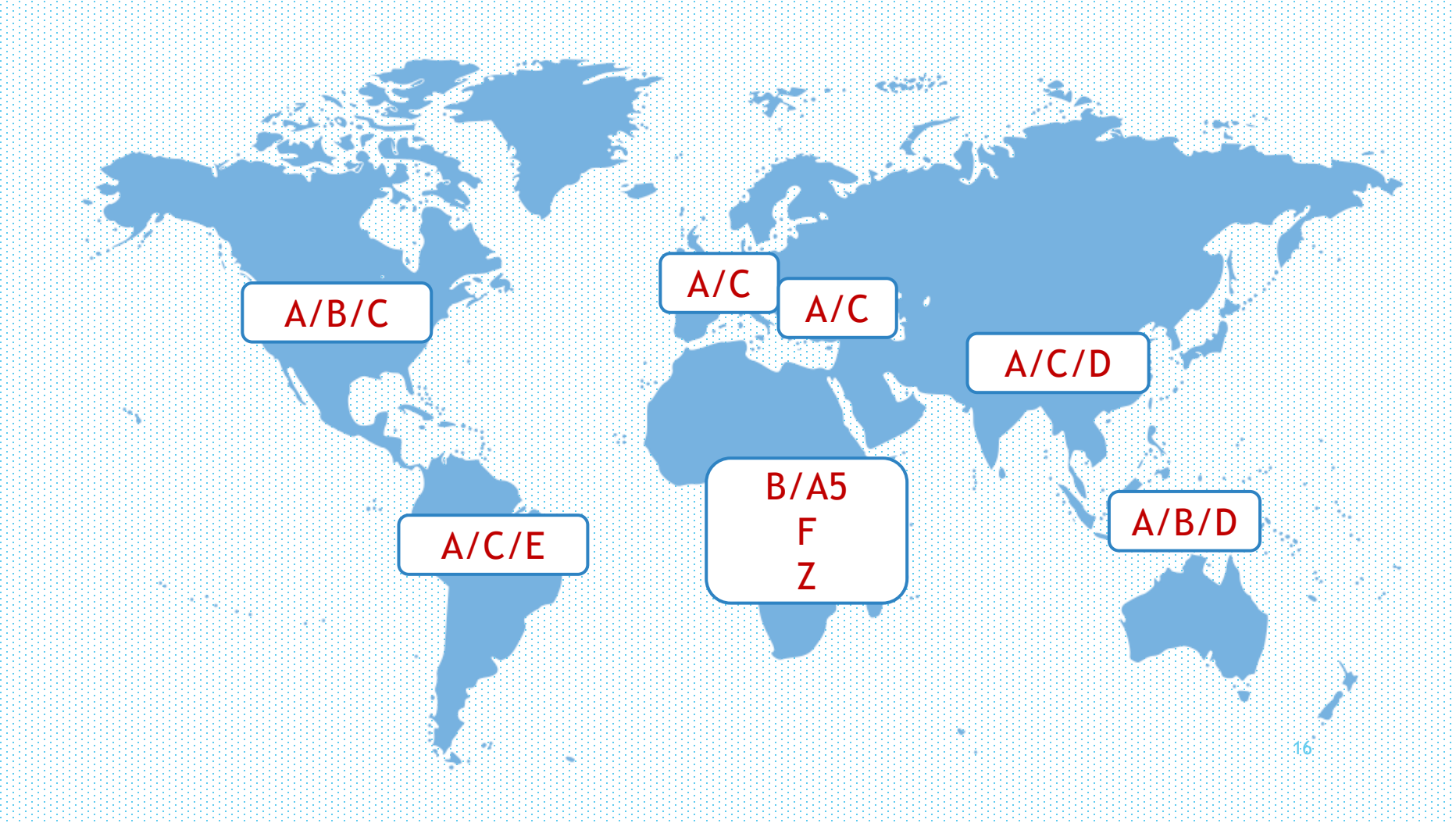
# Épidémiologie (1)



# Epidémiologie (2)

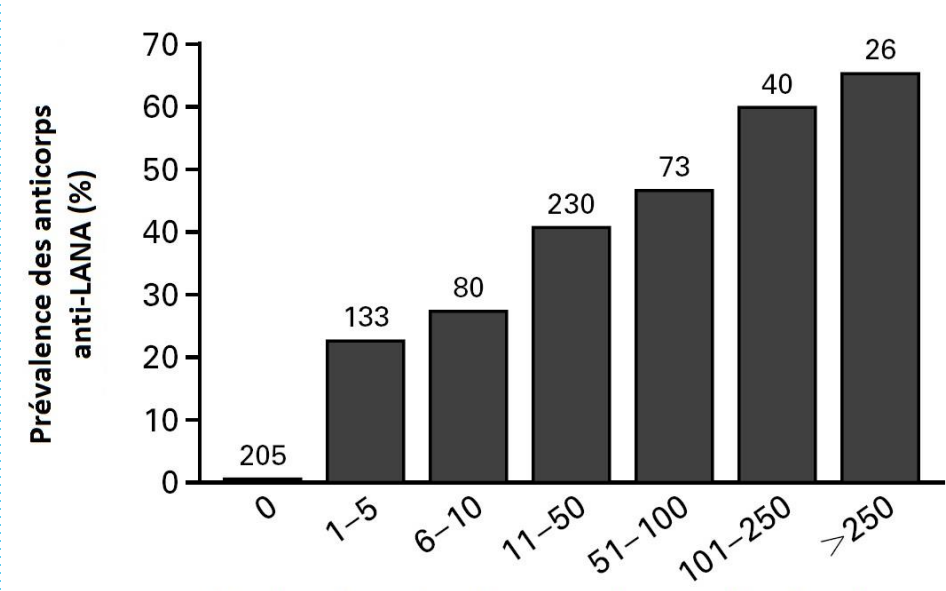
- Typage HHV-8
  - ORF-K1: 7 sous-types identifiés
  - ► A, B, C, D, E, F et Z, eux même subdivisés en variants
    - Variation inter sous-type
      - ▶ B versus A et C : 30% à 40%
      - A versus C : ~20%
    - Variation intra sous-types: ~10%
  - Sous-type principalement corrélé à l'origine géographique des patients
  - Quelques études montrent une corrélation avec la sévérité du tableau clinique, mais résultats inconstants

# Répartition géographique des sous-types de HHV8



## Modes de transmission

- Zone de faible séroprévalence (<5%)</p>
  - Transmission sexuelle
  - Forte séroprévalence HSH : 30% 60%
  - Facteurs de risques
    - Utilisation anyl-nitrites
    - Nombre de partenaires
    - Pratiques oro-anales
  - Don d'organes: D => R
- Zone de forte séroprévalence (>50%)
  - Transmission horizontale non sexuelle
  - Salivaire (excrétion virale intermittente)
  - Entre enfants ou mère-enfant
  - Rarement materno-fœtale
  - Transfusion (rare)



Nombre de partenaires sexuels masculins dans les deux années précédentes

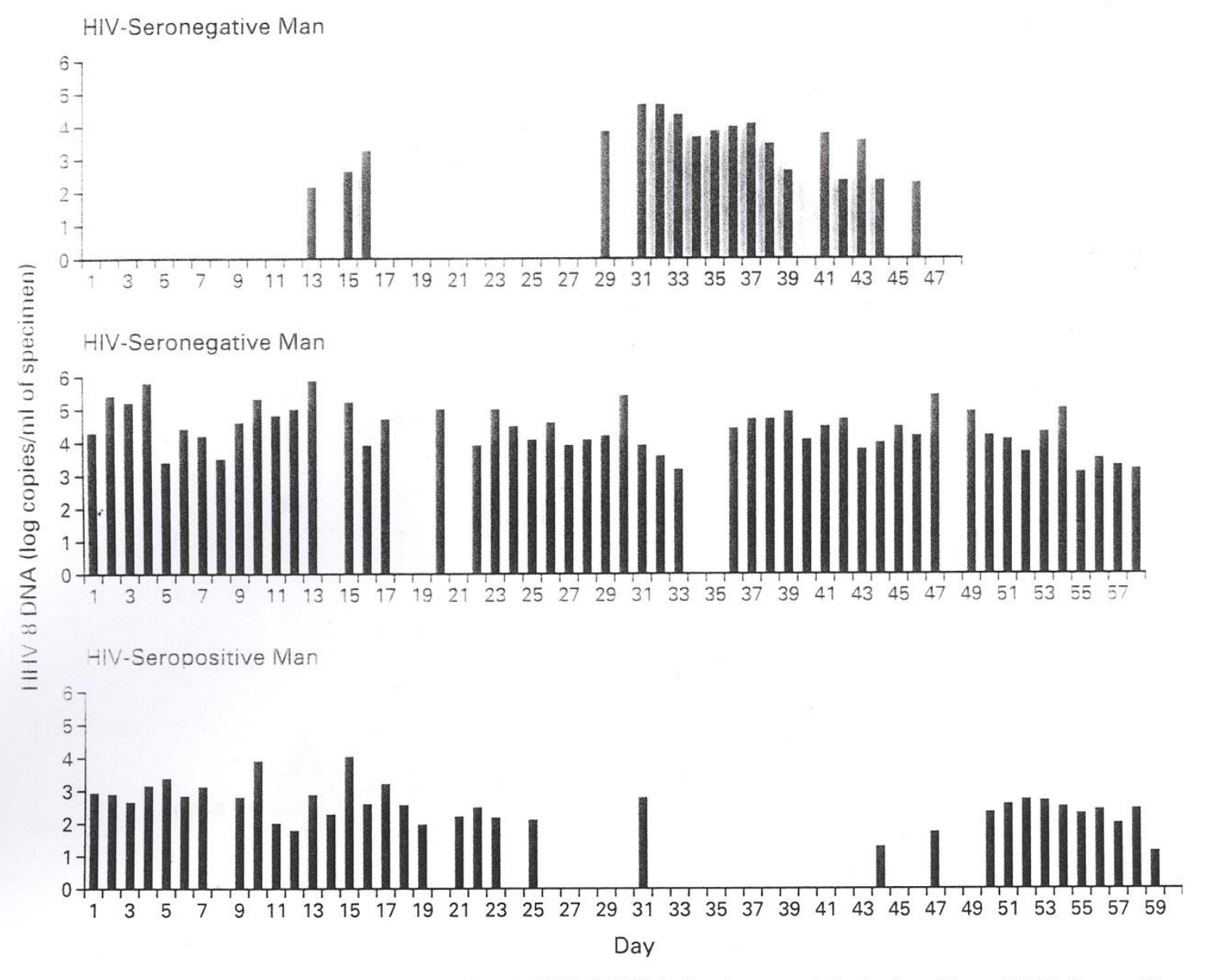


Figure 3. Patterns of Shedding of Human Herpesvirus 8 (HHV-8) DNA in Oropharyngeal Swabs from Three HHV-8-Seropositive Men, According to Their HIV Status.

The man who was seropositive for HIV had a CD4 cell count of 207 per cubic millimeter and 77,000 copies of HIV RNA per milliliter of plasma at study entry.

# HHV8: Mécanismes de l'oncogenèse

- Rôle majeur de la latence virale
  - Expression d'un nbre restreint de gènes, échappement au système immunitaire
  - Maintient du génome sous forme épisomale
  - Persistance virale, prolifération et survie cellulaire

Protéine virale	Rôle
LANA	Persistence, réplication des épisomes, inactivation des gènes suppresseurs de tumeurs p53 et pRB
vCYC	Régulation du cycle cellulaire
vFLIP	Activation NFkB, anti-apoptotique, favorise la prolifération cellulaire en favorisant la transcription de gène anti-apoptotique BCL-2
vIL6	Prolifération B, angiogenèse
vIRF	Prolifération cellulaire, immunomodulation

# Maladie de Kaposi - MK (1)

#### HHV-8 = agent étiologique de toutes les formes de MK

- Classique : 1ère forme décrite en 1892 par Moritz Kaposi
- Endémique (Afrique +++)
- Post-transplantation
- Epidémique : liée à l'infection par le VIH
- 5ème forme? Non épidémique: HSH, non VIH, jeunes, forme peu agressive (Denis et al. JEADV 2018)

#### Clinique

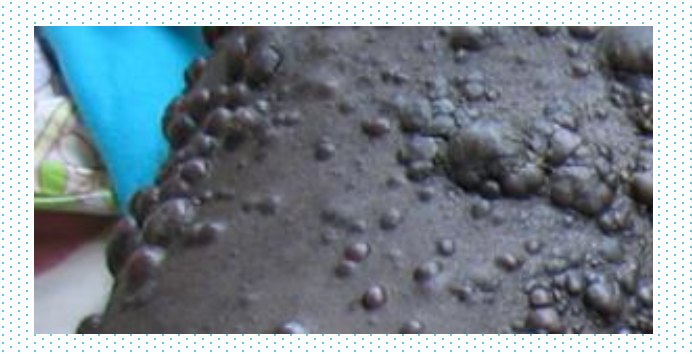
- Atteinte cutanée : macules --- papules --- nodules
- Atteinte muqueuse (sphére ORL, génitale, etc...)
- Atteinte viscérale : pulmonaire, digestive, ganglionnaire



Macule



Papule



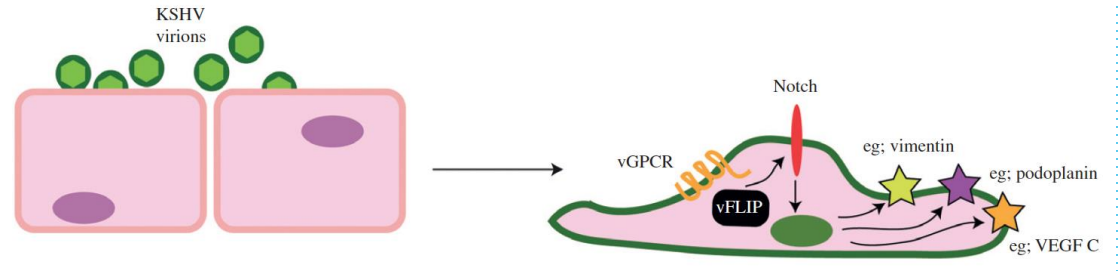
Nodule

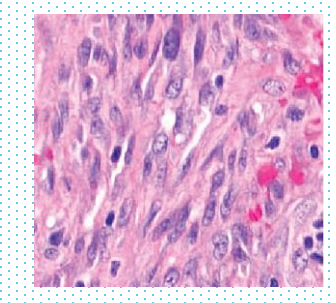
Cancian L et al. Trends Cell Biol 2013

# Maladie de Kaposi - MK (2)

- Rôle de l'immunodépression: âge, VIH, immunosupresseurs
- Processus prolifératif mésenchymateux
  - Cellules majoritairement infectées: lymphocytes B et des cellules circulantes possiblement d'origine endothéliale qui pourraient véhiculer le virus jusqu'à la peau
  - Spindle cells: cellules fusiformes caractéristiques infectées par l'HHV-8 en tête d'épingle

Origine endothéliale ou vasculaire?





- Prolifération: l'infection offre un avantage de croissance (vCyclin, vflip, LANA...)
- Angiogénèse: l'infection favorise l'angio/vasculogénèse (vGPCR...)
- Nature des lésions : poly/oligo clonale puis évolution vers la monoclonalité possible
- Majorité des virus sous forme latente, <5% des virus en phase lytique</p>

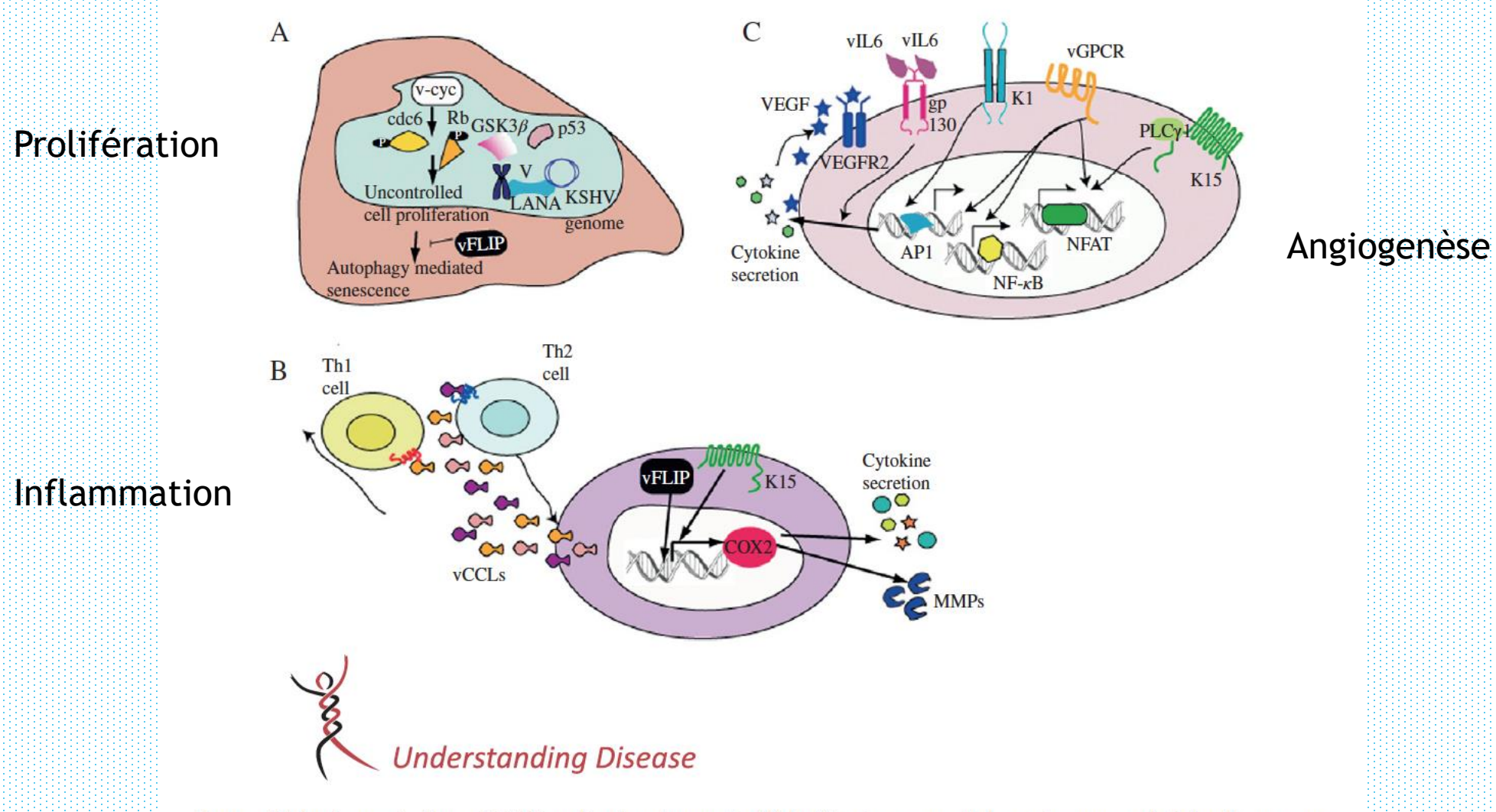


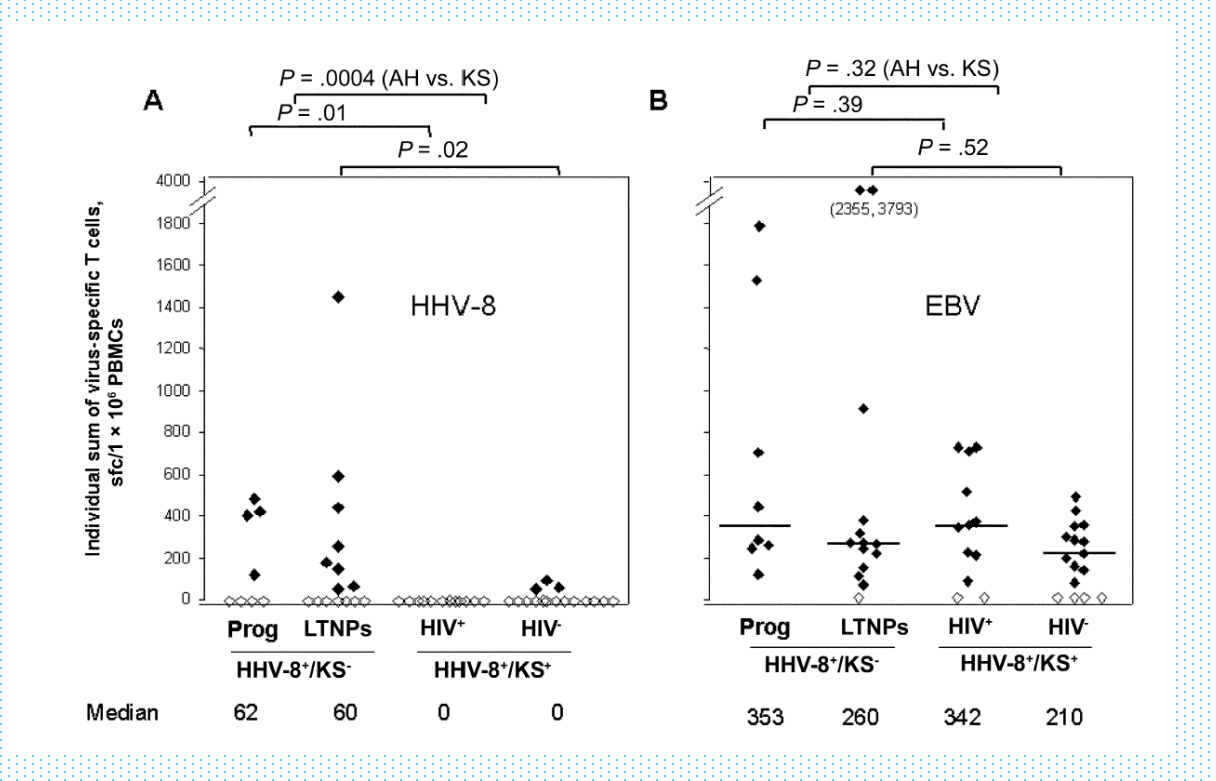
Figure 4. Molecular mechanisms of KSHV-mediated pathogenesis. (A) Proliferation: many viral proteins expressed during latency are involved in KSHV-mediated cell proliferation. LANA tethers the viral genome to the host chromatin and represses p53 and GSK3β pro-apoptotic functions (see text). Vcyc phosphorylates cdc6 and Rb proteins, thus promoting G<sub>1</sub>-S transition but also inducing autophagy-mediated senescence. VFLIP counteracts vcyc-induced senescence by blocking autophagy (see text). (B) Inflammation: pro-inflammatory cytokines and MMPs are secreted by KSHV-infected endothelial cells upon K15- and vFLIP-mediated COX2 expression. Moreover, KSHV encodes cytokines, namely vCCL1, -2 and -3, able to trigger a Th2 inflammatory response. Viral cytokines can signal through CCR8, -3 and -4 (in blue) expressed by Th2 cells, which are chemotactically attracted to the site of infection and act as antagonists of CCR1 and -5 (in red) expressed by Th1 cells (see text). (C) Angiogenesis: KSHV encodes a variety of proteins exploiting angiogenic properties. K15 recruits and activates PLCγ1 to induce NFAT-mediated transcription of pro-angiogenic genes. vGPCR, K1 and vIL-6 trigger the expression of pro-angiogenic cytokines (see text), including VEGF, which, by binding to its cognate receptor, triggers angiogenesis.

# Faibles réponses CD8 anti-HHV-8 chez les patients présentant une MK

Low T Cell Responses to Human Herpesvirus 8 in Patients with AIDS-Related and Classic Kaposi Sarcoma

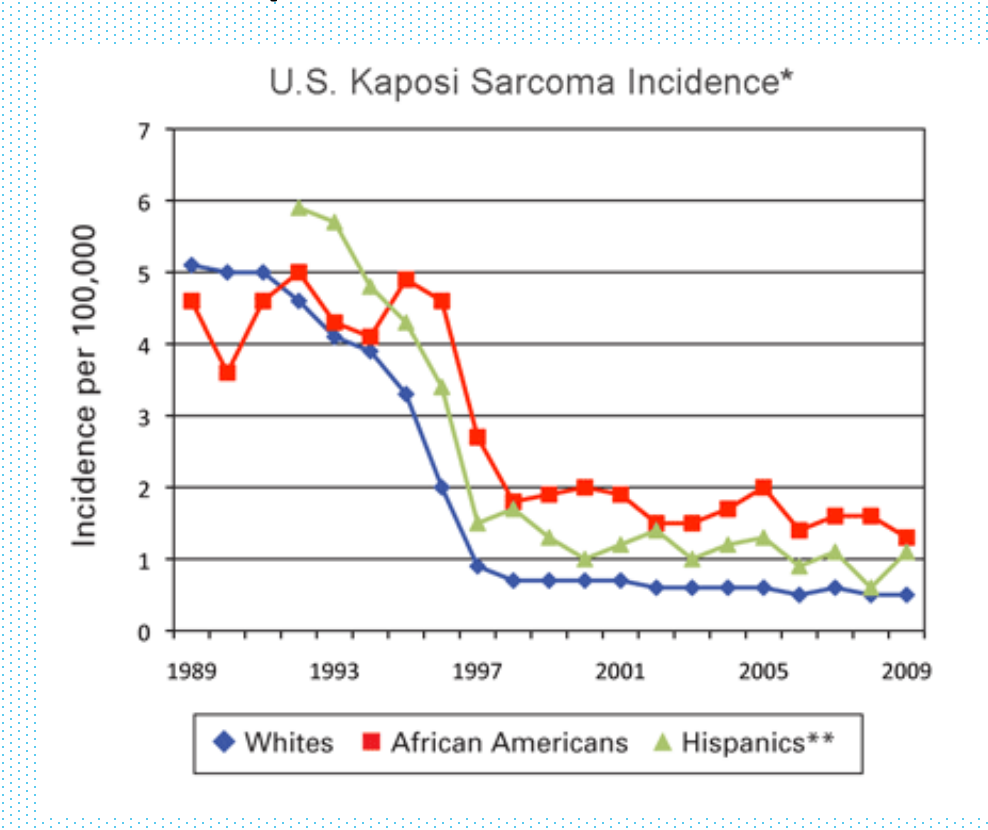
Amélie Guihot,<sup>1</sup> Nicolas Dupin,<sup>4</sup> Anne-Geneviève Marcelin,<sup>2</sup> Isabelle Gorin,<sup>4</sup> Anne-Sophie Bedin,<sup>1</sup> Philippe Bossi,<sup>3</sup> Lionel Galicier,<sup>5</sup> Eric Oksenhendler,<sup>5</sup> Brigitte Autran,<sup>1</sup> and Guislaine Carcelain<sup>1</sup>

Indépendant de leur taux de CD4 (r=0,17, p=0,24) ou charge virale HHV-8 (r=0,02, p=0,89)



# Persistance des risques de tumeurs liées à HHV-8 avec reconstitution immune efficace

# Incidence of KS in HIV-positive patients over time<sup>1</sup>



Diminution de l'incidence des KS depuis 1996 (PI/r, trithérapies)<sup>1</sup>

#### Risk when CD4 ≥500/mm<sup>3</sup>

FHDH ANRS CO4  SIR in HIV+ with CD4 >= 500/mm <sup>3</sup> for more than 2 years  compared with general population					
<b>KS</b> VL ≤ 500 cp/mL	NHL VL ≤ 500 cp/mL	HL	Anal	Lung	Liver
35.4 (18.3-61.9)	1.0 (0.4-1.8)	9.4 (7.9-16.8)	-	0.9 (0.6-1.3)	2.4 (1.4-4.1)

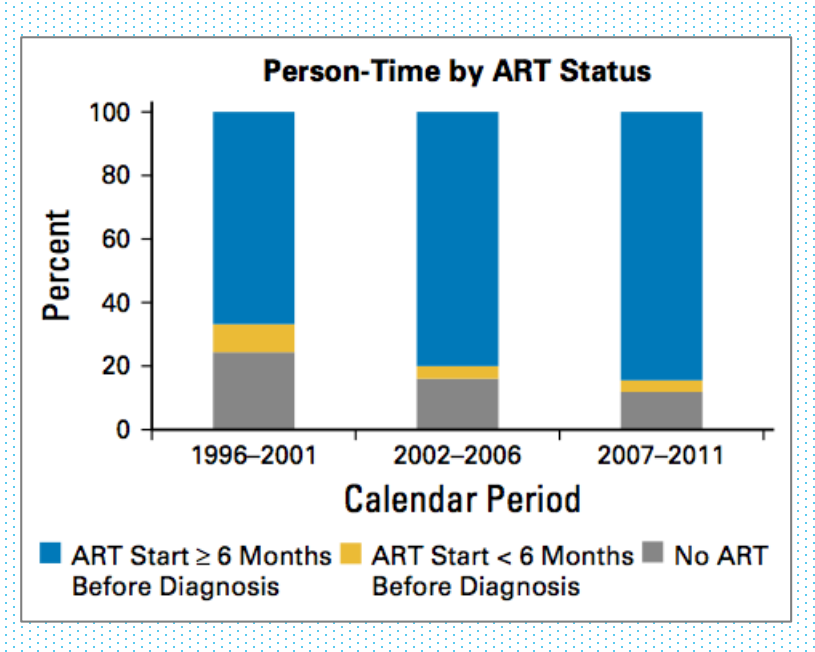
Kaiser permanente (Silverberg et al. 2011) RR in HIV+ with recent CD4 >= 500/mm³ compared with HIV-					
KS	NHL	HL	Anal	Lung	Liver
59.9 (39.3-91.5)	3.9 (2.5-6.0)	13.5 (7.2-25.1)	33.8 (17.8-64.3)	1.2 (0.7-1.9)	1.0 (0.4-2.4)

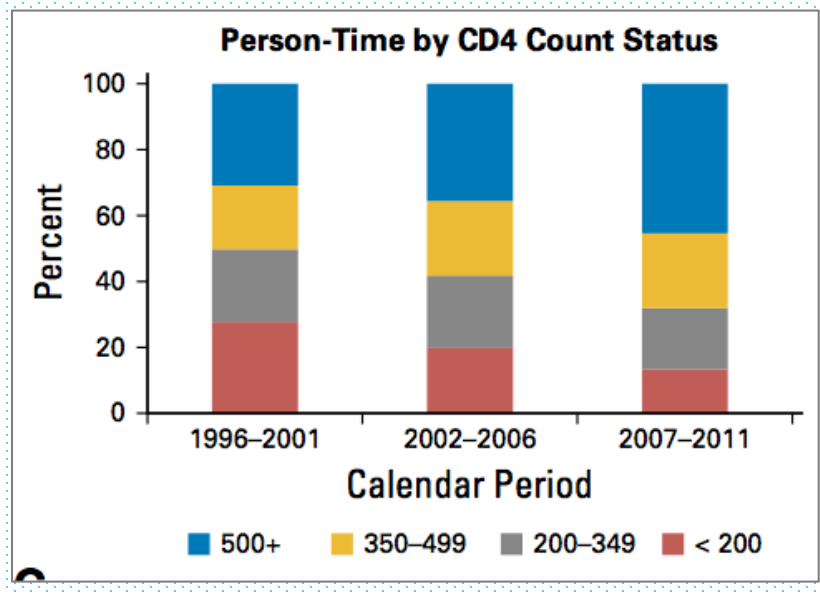
Hleyhel M et al CID 2013 et AIDS 2014

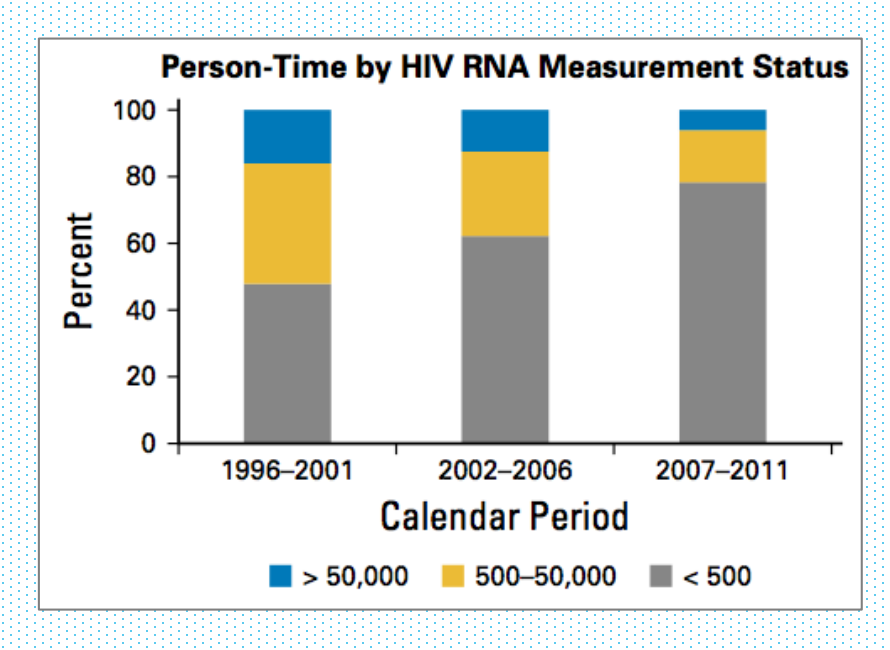
Malgré le contrôle immunologique et virologique sous ART, les patients VIH restent à risque de déveloper un KS<sup>2</sup>

1. Shils, Curr Opin HIV AIDS, 2017. 2. Yanik, JCO, 2016

# Actuellement, la MK chez le sujet VIH+ est le plus fréquemment diagnostiquée sous ARV, avec des CD4 > 350/mm³ et CV < 500 cp/ml



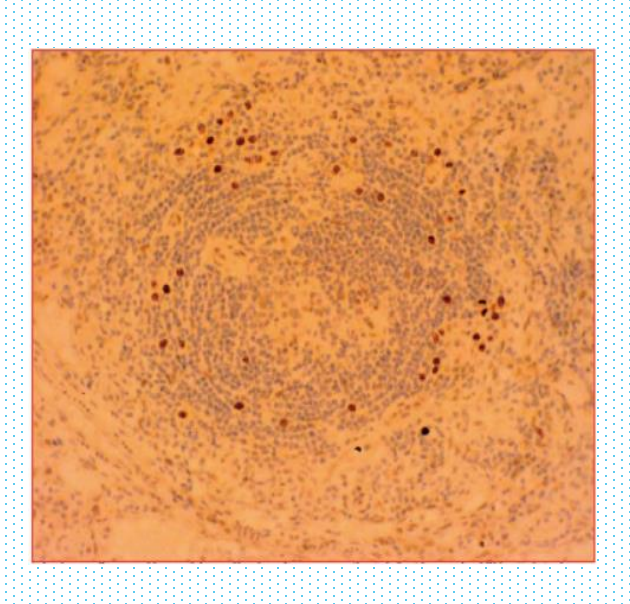




Yanik, JCO, 2016

## Maladie de Castleman multicentrique - MCM

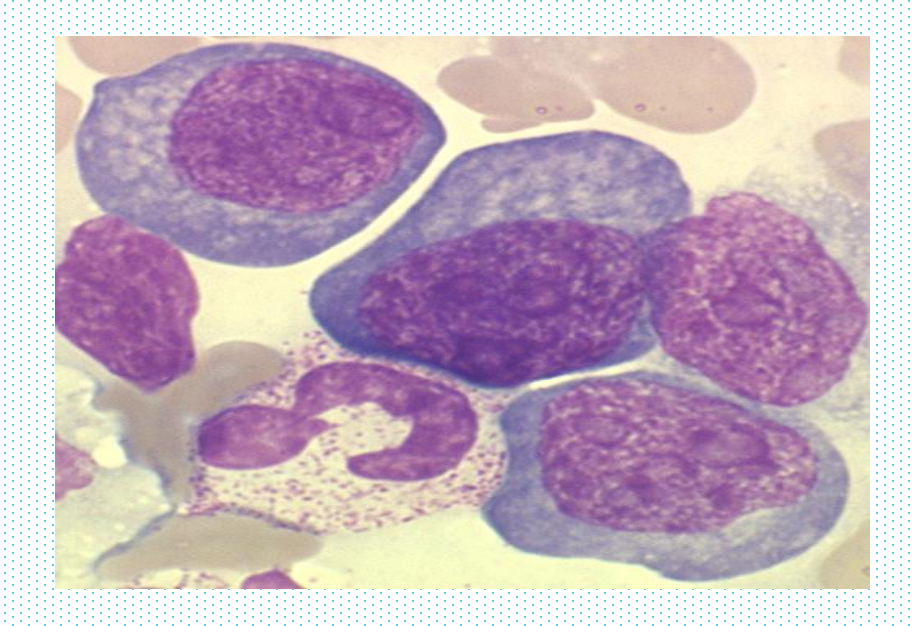
- Lymphoprolifération polyclonale B CD 20+
- Etiologies
  - VIH+: HHV-8 retrouvé dans 100 % des cas, association MK 70 %
  - VIH-: HHV-8 retrouvé dans 50 % des cas
- Clinique
  - Signes cliniques non spécifiques (adénopathies multiples, hyperthermie, etc...)
  - Anémie
  - Syndrome inflammatoire biologique ( IL-6)
- > 10 à 15% des virus en phase lytique



# Lymphome primitif des séreuses (PEL)

- Lymphome non Hodgkinien de haut grade:
  - Rare
  - Sujet VIH +++
  - Lymphoprolifération monoclonale B
  - Forte association à HHV-8
- Epanchements lymphomateux :
  - Pleuraux et péricardiques 

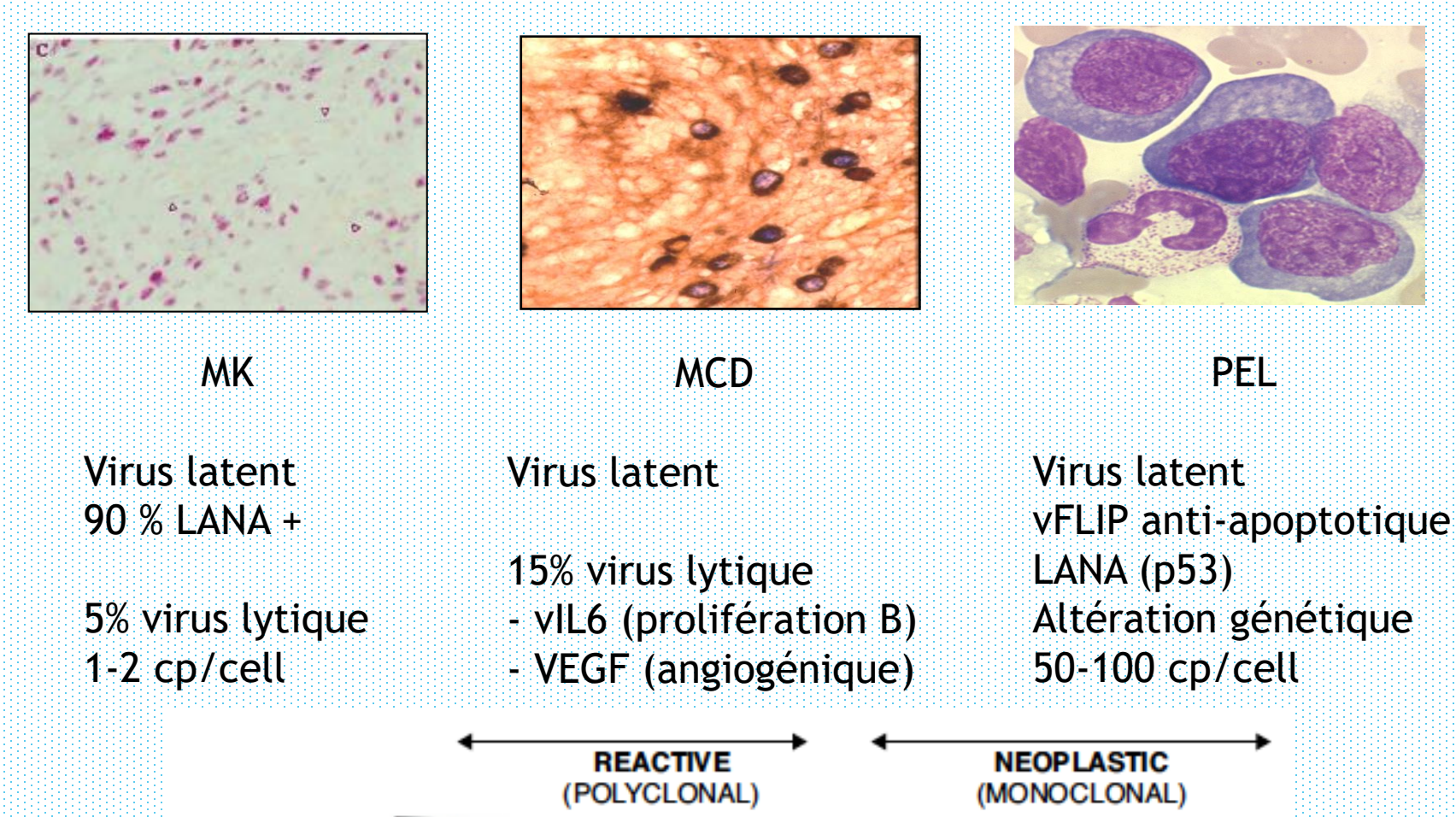
    Dyspnée
  - Péritonéaux 📥 Ascite
  - Formes solides extra-cavitaires rares (ganglionnaires, digestives)
- Cellules tumorales infectées par HHV-8 en phase de latence (<5% phase lytique)</p>
- Anatomo-pathologie : larges cellules pléiomorphiques, Ac anti LANA+ en Immunohistochimie



# Physiopathologie

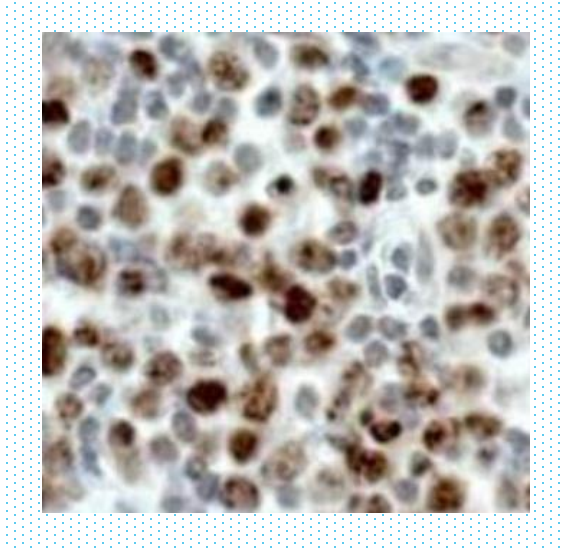
RESPONSE TO ANTIVIRALS

Virus / immunodépression → prolifération réactive polyclonale → néoplasie oligoclonale

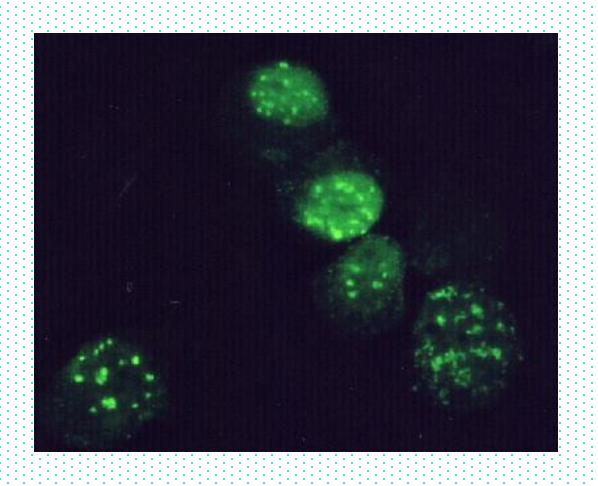


# Diagnostic des infections à HHV-8 (1)

- Anatomo-pathologie: immunohistochimie
  - Biopsies (peau, gg, ...)
  - Marquage par anticorps anti LANA-1



- Virologique : diagnostic indirect
  - Sérologie
    - Sérum
    - Détection des IgG anti LANA-1 par Immunofluorescence Indirecte
    - Ag LANA à partir de cellules de lignées PEL (BC3) non stimulées (HHV8+/EBV-)
    - Très bonne spécificité, sensibilité 80%



# Diagnostic des infections à HHV-8 (2)

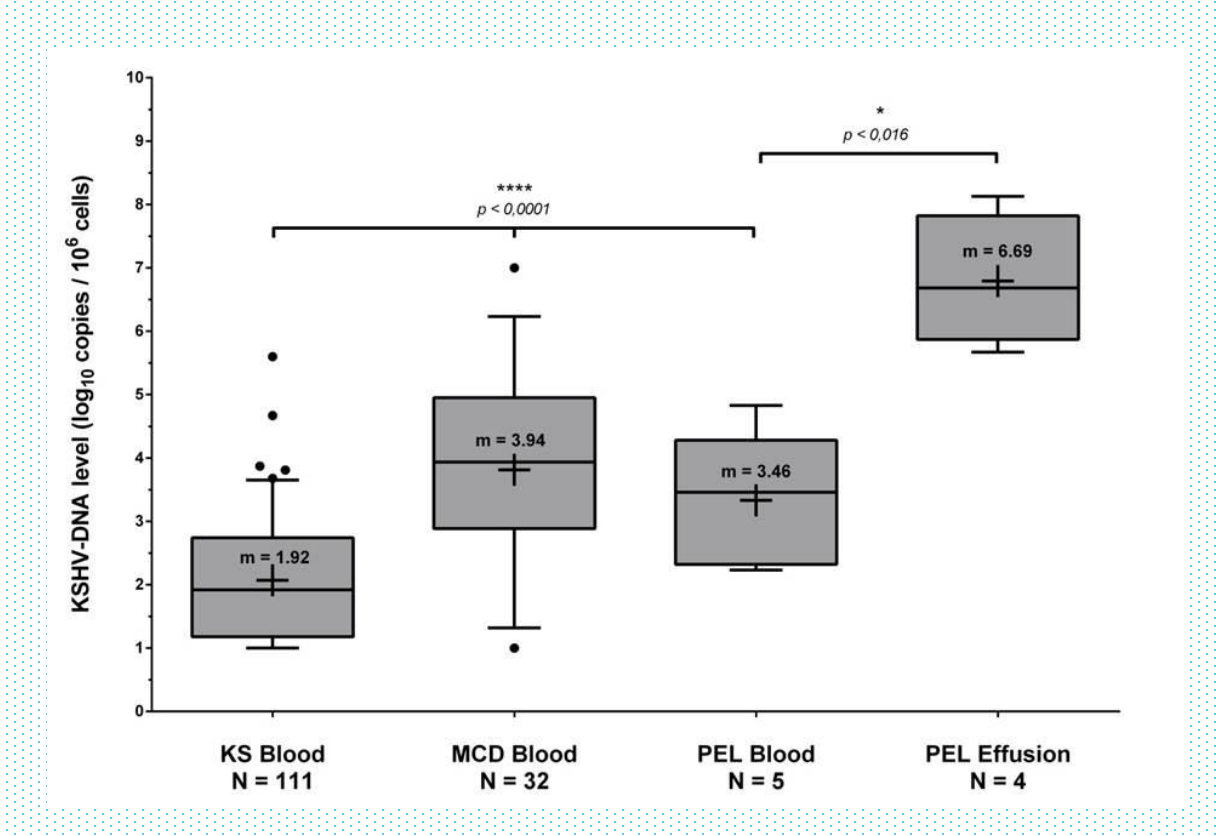
#### Virologique : diagnostic direct

Culture cellulaire: propagation de l'HHV-8 en culture difficile.

la plupart des cellules ne supportent qu'une infection lytique abortive, peu efficace.

#### > PCR

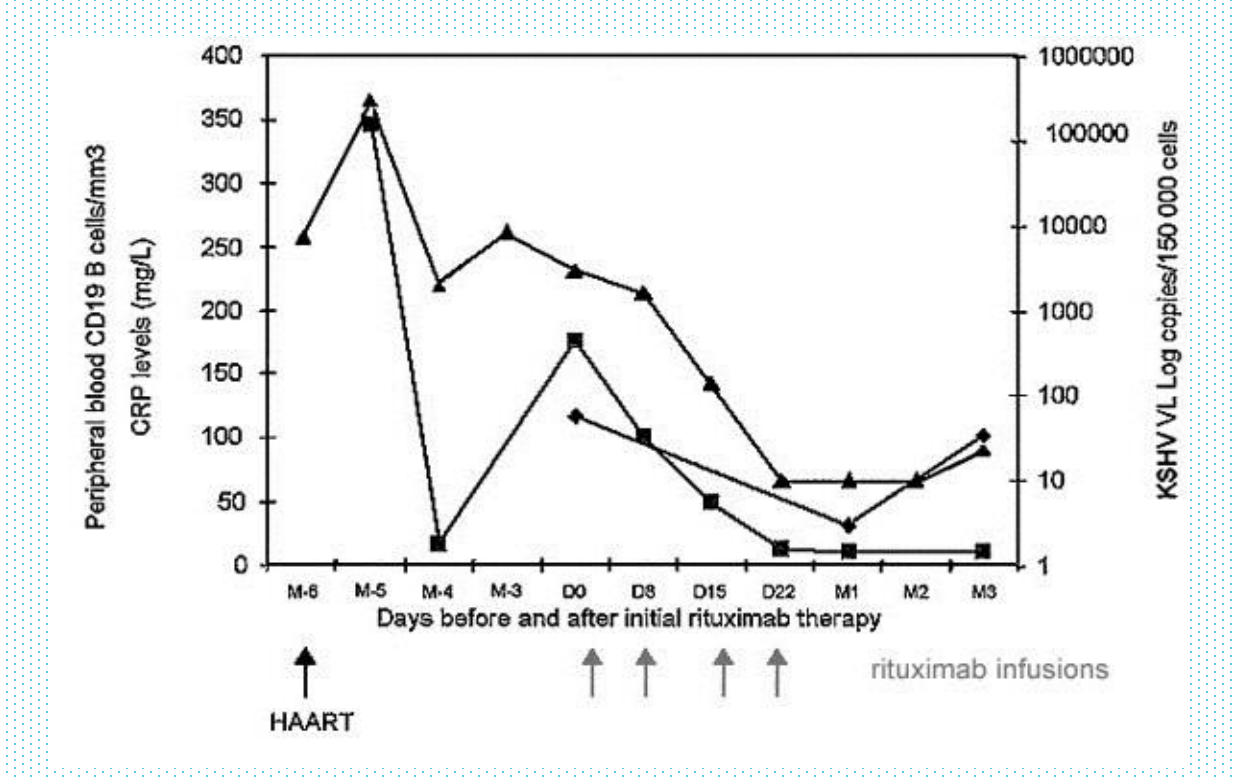
- Sang total, plasma, biopsies, liquide de ponction, prélèvements respiratoires (LBA)
- Gènes hautement conservés
- ORF-26, ORF-65, ORF-73
- PCR en temps réel
  - Quantification
  - Diagnostic



# Diagnostic des infections à HHV-8 (3)

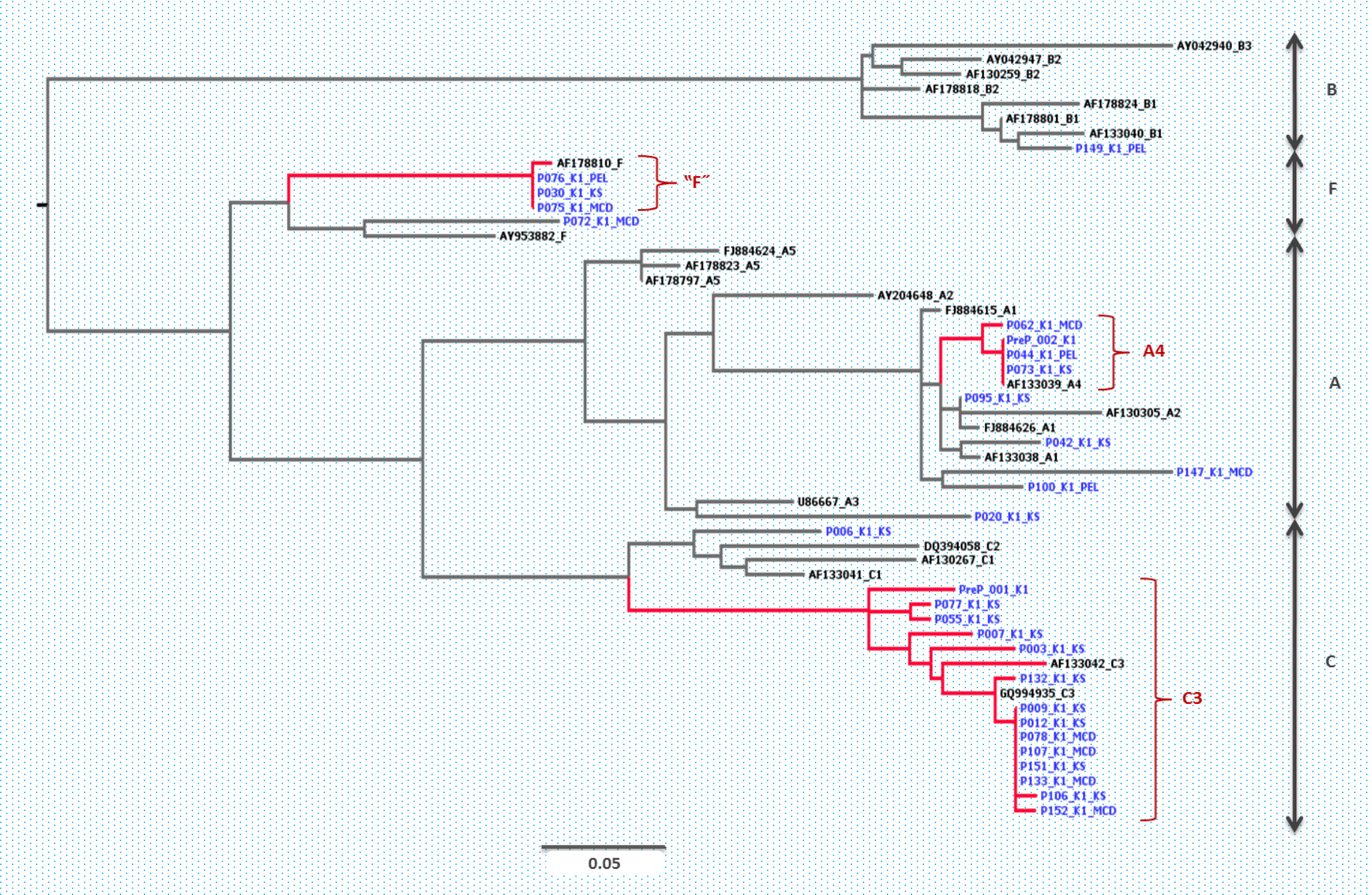
#### > PCR

- Sang total, plasma, biopsies, liquide de ponction, prélèvements respiratoires (LBA)
- Gènes hautement conservés
- ORF-26, ORF-65, ORF-73
- PCR en temps réel
  - Quantification
  - Diagnostic
  - suivi



# Etude de la diversité des sous-types HHV8

- Dans une population de HSH vivant en France et présentant ou non une maladie liée à HHV-8.
  - Typage moléculaire par séquençage de K1 et analyse phylogénétique
  - Explorer l'existence d'une corrélation entre la sévérité du tableau clinique et sous-type HHV-8.
- Etude rétrospective (4 centres: Pitié, Bichât, Saint-Antoine, Tenon)
  - 57 HSH
    - VIH positif
    - MK (cutanée, buccale, viscérale), MCD et/ou PEL
    - Diagnostic entre 2010 et 2017
  - 8 utilisateurs de la prophylaxie pré-exposition VIH
    - ► HHV-8 séropositif (excrétion dans la salive)



# Sous-type F

- Initialement 97 patients présentant une maladie liée à HHV-8 testés (toutes origines et tableaux cliniques confondus)
- « F » isolé uniquement chez 5 HSH
  - ▶ 2 MK viscérales, 1 MCM, 1 PEL et 1 PrEPeur
  - 4 d'origine française et 1 d'origine d'Amérique du sud
- Séquences similaires avec celle d'un HSH français VIH+ avec un PEL décrit en 2000 et également un afro-américain avec une MK épidémique
  - distance génétique: 11% avec séquence de référence F

## Conclusion

- Analyse phylogénétique
  - Sous-type C le plus prévalent (51%) suivi du sous-type A (33%)
  - 3 clusters: variant C3, variant A4 et « sous-type F »
  - Sous-type B peu représenté mais pas de patient originaire d'Afrique
- Sous-type F « caucasien »
  - Même si patients systématiquement diagnostiqués au stade SIDA, toujours associés à un tableau clinique sévère
  - Présent depuis au moins 2000 mais diffusion reste faible dans la population HSH (13%)
  - D'après les analyses épidémiologiques, phylogénétiques et de distances génétiques
    - → Nouveau variant F « caucasien » *versus* variant F « Africain »

# HHV-8/KSHV et kaposi, un modèle unique

- le virus est nécessaire mais pas suffisant
- un certain degré d'immunodépression
  - Âge
  - VIH
  - Transplantation
  - Diabète ?
  - Autres?





- Ne représente pas une cible thérapeutique, car majoritairement latent
- Le meilleur tt du Kaposi est la restauration immunitaire quand elle est possible...
- Nombreuses questions sur le virus HHV-8
  - Transmission orale, mais pourquoi non ubiquitaire?
  - Étapes de l'infection: du réveil et à la tumorigénèse ?
  - ▶ 5<sup>ème</sup> forme de MK chez l'immunocompétent jeune, HSH? Nouveau variant?











Institut Pierre Louis d'Épidémiologie et de Santé Publique Pierre Louis Institute of Epidemiology and Public Health



#### Institut Pierre Louis d'Epidémiologie et de Santé publique, INSERM U1136

#### Virology Pitié-Salpêtrière

Pr Vincent Calvez

Dr Marc Wirden

Dr Eve Todesco

Dr Cathia Soulie

Dr Thuy Nguyen

Isabelle Malet

Nathalie Desire

#### **Saint Antoine**

Pr L Morand Joubert
Dr Sidonie Lambert-Niclot
Dr Djeneba Fofana

#### **Infectious Diseases**

Pr Christine Katlama Dr Roland Tubiana

Dr Marc-Antoine Valantin

Dr Romain Palich

Rachid Agher

#### **Oncology**

Pr JP Spano M Veyri



#### **Biostatistics**

Dr Philippe Flandre
Dr Dominique Costagliola
Lambert Assoumou
Maxime Grude

#### Immunology, INSERM U1135, CIMI

Pr. B Autran Dr. A Guihot A Samri



